

تحلیل تنش ناشی از FOD روی یک پره توربین گاز از جنس سوپرآلیاژ پایه نیکل

سید مسعود مرندی^۱، مهدی تاجداری^{۲*} و خسرو رحمانی^۳

^۱دانش آموخته کارشناسی ارشد دانشگاه صنعت آب و برق (شهید عباسپور)

^۲دانشیار دانشگاه صنعتی مالک اشتر - مرکز مکانیک و فناوری های ساخت

^۳استادیار دانشگاه صنعت آب و برق (شهید عباسپور)

(تاریخ دریافت ۱۲۹/۱/۸، تاریخ دریافت روایت اصلاح شده ۱۵/۵/۸، تاریخ تصویب ۱۵/۶/۸)

چکیده

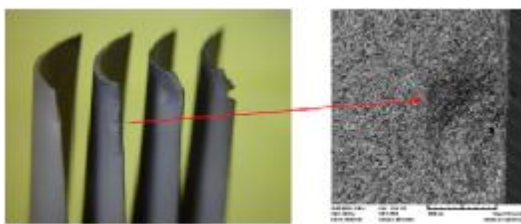
خسارت ناشی از برخورد جسم خارجی^۱ به پرههای طور معمول در اثر ورود اجسام سخت از جمله شن، سنگ و یا قسمتی از اجزای جدا شده موتور به داخل توربین، ایجاد می شود. تحت بدترین شرایط، FOD می تواند منجر به خسارت های شدید ساختاری شود و باعث ایجاد فرورفتگی در لبه پره توربین گاز شود. در این مقاله برخورد روى لبه پره از جنس سوپرآلیاژ پایه نیکل 80 René به روش اجزای محدود مورد بررسی قرار گرفته شده است. در این بررسی، تنش های پسماند در سه منطقه بحراستی (که تنش هایشان به طور معمول کششی است) از دو روش دینامیکی و شبه استاتیکی، مقایسه شده است. همچنین ضریب تمرکز تنش الاستیک از روش آنالیز تجربی تنش به دست آمده است که با مقادیر اجزای محدود، مطابقت دارد.

واژه های کلیدی: خسارت جسم خارجی، ضریب تمرکز تنش، تنش های پسماند، آنالیز تجربی تنش

مقدمه

ولی تا کنون گزارش های علمی در این باره منتشر نشده است.

خسارت جسم خارجی، سالیانه بیش از ۴ بیلیون دلار برای صنایع هوایی آمریکا هزینه به همراه دارد [۲]. شکل (۱) تصویر خسارت دیده چند نمونه از پره توربین گاز موتور جت، در اثر FOD را نشان می دهد.



شکل ۱: تصویر خسارت دیده چند نمونه از پره توربین گاز موtor جت در اثر FOD.

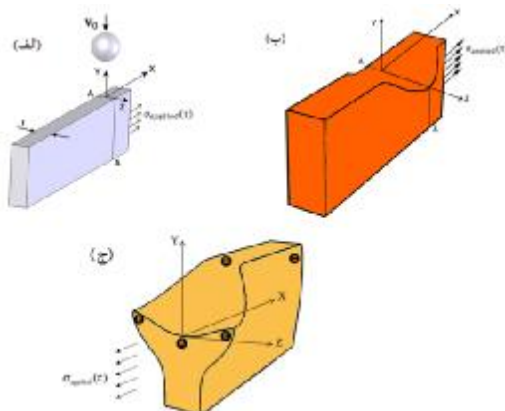
خسارت جسم خارجی، یک عامل اصلی واماندگی خستگی در موتورهای جت است. خسارت جسم خارجی زمانی رخ می دهد که اجسام سخت همچون سنگ، شن و یا حتی قسمتی از اجزای موتور هواپیما با سرعت هایی در محدوده ۳۵۰-۱۰۰ متر بر ثانیه به پره هواپیما برخورد می کند. جریان هوا با دبی زیاد که مورد نیاز برای عمل کردن چنین موتورهایی است، با یک مکش قوی، باعث ورود ذرات کوچک از هوای خارج هواپیما یا کنده شدن دن اجزای موتور می شود که به داخل توربین گاز وارد می شوند [۱]. این خسارت به لبه برخورد پره کمپرسور گزارش شده است. افرادی که در زمینه برخورد اجسام خارجی به پره کمپرسور تحقیقات گسترده ای انجام داده اند و حتی دست به آزمایش های گسترده زده اند پیترز و ریچی (۲۰۰۱)، چن، هاچینسون (۲۰۰۳)، چاپتی (۲۰۰۴) و دیگران هستند که خدمات زیادی در این زمینه کشیده اند. برخورد اجسام به پره توربین گاز نیز انجام شده است که نمونه هایی از آن در دست است که باعث خسارت به پوشش حرارتی پره شده است.

تشریح مدل و خصوصیات ماده

برای مدل کردن خسارت جسم خارجی به پره توربین گاز، فرض های زیر در نظر گرفته شده است: ۱- قسمتی از اجزای توربین کنده شده و به لبه پره برخورد می کند. جنس این قطعه از سوپرآلیاژ پایه نیکل 617 In617 و با دمای 300°C در نظر گرفته شده است.

در ابتدا صفحه مکعب مستطیل شکل بدون تنفس بوده و وجه سمت چپ آن به طور کامل مقید شده است. با اندازه‌گیری‌هایی که از یک نمونه پره توربین گاز از جنس سوپرآلیاژ René 80 انجام گرفت، مکعبی به ابعاد $1.27\text{ mm}^3 \times 20 \times 70$ در نظر گرفته شد. پس از برخورد، هندسه فرورفتگی با عمق فرورفتگی δ ، قطر فرورفتگی w و قطر برآمدگی جانبی b مشخص شده است (شکل ۳).

شماتیک سهبعدی فرورفتگی در نمونه در شکل (۴-ب) و نمایی از مقطع A-A در شکل (۴-ج) آورده شده است. در شکل (۴-ج)، بستر حفره A ، برآمدگی جانبی E ، توده پلاستیک B و منطقه زیر سطحی که به اندازه شعاع حفره از حفره فاصله دارد C ، نشان داده شده است. پس از برخورد، طول نمونه (در جهت x) پس از برخورد و ایجاد حفره با تنفس تناوبی متغیر با زمان (T) قرار گرفته است.



شکل ۴: (الف) شماتیک قبل از برخورد (ب) تغییر شکل پس از برخورد (ج) برش (A-A) از جسم تغییر شکل یافته که در آن، بستر حفره A ، برآمدگی جانبی E ، توده پلاستیک اطراف فرورفتگی B و منطقه‌ای زیر سطح که به اندازه شعاع حفره از حفره فاصله دارد C ، نشان داده شده است.

ارتفاع توده پلاستیک اطراف حفره (B) در شکل (۴-ج) بستگی به سرعت جسم برخوردکننده دارد و در حد صدم میلی‌متر است که در مقایسه با عمق و قطر فرورفتگی قابل چشم‌پوشی است. با صرف نظر کردن از ارتفاع توده پلاستیک (و با مراجعه به شکل ۵) رابطه‌ای ساده بین عمق فرورفتگی و قطر فرورفتگی به شکل فرمول (۱) به دست آمده است.

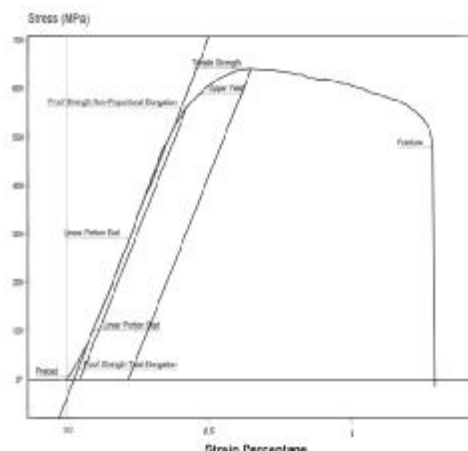
خواص مکانیکی سوپرآلیاژ In 617 در دمای 300°C از

این قرار است: مدول الاستیسیته $E=190\text{ GPa}$ ، ضریب پواسون $\nu=0.3$ و چگالی $\rho = 8360 \frac{\text{kg}}{\text{m}^3}$. [۴]

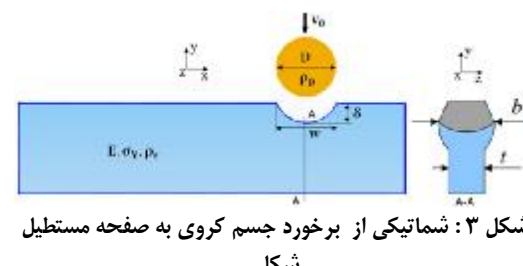
۲- یافتن خصوصیات مکانیکی سوپرآلیاژ 80 در همه دماها غیرممکن به نظر می‌رسد. از این رو در این مدل سازی درجه حرارتی میانگین، متناسب با محل برخورد برای پره در نظر گرفته شده است که برابر با 871°C است. شکل (۲) نمودار تنفس-کرنش سوپرآلیاژ 80 در دمای 871°C را نشان می‌دهد. چگالی سوپرآلیاژ $\rho = 8160 \frac{\text{kg}}{\text{m}^3}$ و ضریب پواسون آن $\nu=0.3$ است. [۵].

۳- جسم کروی برخوردکننده قطرهای مختلفی برابر با $D_3=1.27\text{ mm}$ و $D_2=2\text{ mm}$ ، $D_1=3.2\text{ mm}$ سرعت‌های مختلف به نمونه برخورد کرده و فرورفتگی‌های متفاوتی را ایجاد می‌کند.

۴- برای ساده‌سازی مسئله، پره به صورت یک مکعب مستطیل در نظر گرفته شده است که جسم کروی به $\frac{1}{3}$ بالای آن برخورد می‌کند. شکل (۳) شماتیکی از برخورد جسم کروی به صفحه مستطیل شکل را نشان می‌دهد.

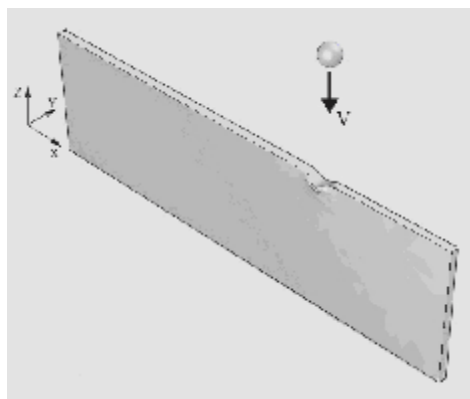


شکل ۲: نمودار تنفس-کرنش سوپرآلیاژ René 80 در دمای 871°C [۵].



شکل ۳: شماتیکی از برخورد جسم کروی به صفحه مستطیل شکل.

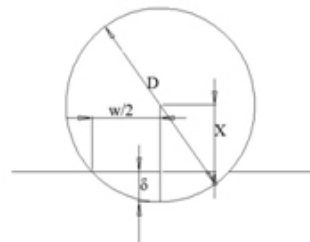
تحلیل آن به روش اجزای محدود، باید از نرم افزاری استفاده شود که بتواند برخورد را نزدیک به حالت واقعی آن شبیه سازی کند و همچنین از بقیه نرم افزارها در این زمینه نیز قوی تر عمل کند. آنالیز مسئله برخورد جسم خارجی با نرم افزار ABAQUS V6.5 و به صورت سه بعدی انجام شده است. با اندازه گیری هایی که از یک نمونه پره توربین انجام گرفت و با مراجعه به شکل (۳)، مکعب مستطیلی به ابعاد $70 \times 20 \times 1.27 mm^3$ در نظر گرفته شده است. مکعب مستطیل مذکور با ۲۰۰۰۰ المان هرمی ۴ گرهی المان بندی شده است. در شکل (۷)، برخورد جسم کروی به نمونه و تغییر شکل ایجاد شده در آن نشان داده شده است.



شکل ۷: برخورد جسم کروی به نمونه و تغییر شکل ایجاد شده در آن.

برای جسم کروی برخورد کننده، قطرهای مختلفی $D_3 = 1.27 mm$, $D_2 = 2 mm$, $D_1 = 3.2 mm$ در نظر گرفته شده است که با سرعت های مختلف به نمونه برخورد کرده و فرورفتگی هایی با عمق متفاوت، ایجاد می کند. آنالیز اجزای محدود مسئله، شامل دو قسمت است:

- برخورد جسم به مکعب مستطیل که به شکل Dynamic Explicit انجام می شود.
 - پس از برخورد، به مکعب مستطیل در جهت x (طول مکعب) تنش متغیر با زمان و به شکل استاتیکی اعمال می شود (شکل ۶).
- در این تحلیل، ضریب اصطکاک کلمب ۱.۰ در نظر گرفته شد. همچنین نرخ کرنش برای سوپرآلیاژ René ۸۰ مقدار ثابت $\frac{1}{5} \times 10^{-4}$ sec^{-1} مانظور شد.



شکل ۵: فرورفتگی ایجاد شده در نمونه که از توده پلاستیک صرف نظر شده است.

$$\delta = \frac{D}{2} - X, X = \frac{\sqrt{D^2 - w^2}}{2}$$

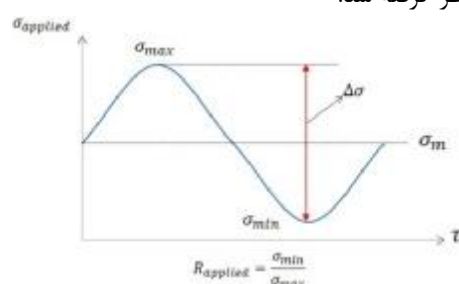
$$\delta = \frac{1}{2} (D - \sqrt{D^2 - w^2})$$

$$w = 2\sqrt{\delta(D - \delta)} \quad (1)$$

انرژی جنبشی ذره $KE = \frac{\pi}{12} D^3 \rho_p v_0^2$ دانسیته ذره و v_0 سرعت برخورد است. انرژی جنبشی نرمال شده ذره به صورت فرمول (۲) بیان می شود.

$$\Omega = KE / (\sigma_Y D^3) = \frac{\pi}{12} \left(\rho_p / \sigma_Y \right) v_0^2 \quad (2)$$

شکل (۶) نمودار بار اعمالی به جسم مکعبی شکل را نشان می دهد. $\sigma_{max} = 300 \text{ MPa}$ و $\sigma_{min} = 30 \text{ MPa}$ (René 80) و در حدود نیمی از تنش تسلیم سوپرآلیاژ ۸۰ (René 80) در نظر گرفته شد.



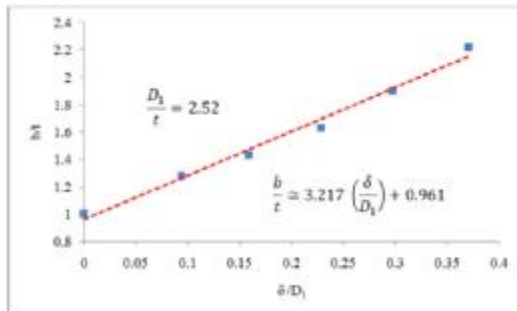
شکل ۶: نمودار بار اعمالی به جسم مکعبی شکل.

نمونه های تخریب شده که از موتورهای جت جنگنده به دست آمده، نشان داده است که شروع ترکهای خستگی از سه ناحیه A, B, C است. به همین منظور همه تحلیل تنش ها در این مقاله روی این سه ناحیه مرکز شده است.

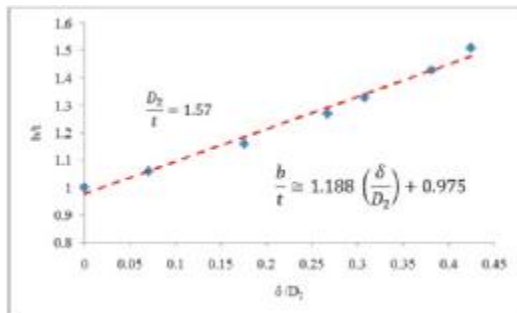
روش اجزای محدود

مسئله برخورد، یک مسئله غیرخطی است و برای

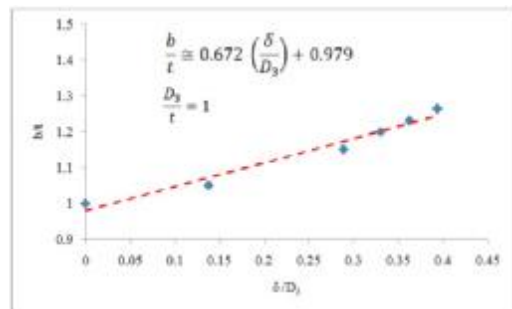
شکل‌های (۱۱)، (۱۲) و (۱۳) رابطه خطی بین δ/D و b/t را برای سه قطر مختلف ذره D_1 ، D_2 و D_3 نشان می‌دهند.



شکل ۱۱: رابطه خطی بین $\frac{\delta}{D_1}$ و $\frac{b}{t}$



شکل ۱۲: رابطه خطی بین $\frac{\delta}{D_2}$ و $\frac{b}{t}$



شکل ۱۳: رابطه خطی بین $\frac{\delta}{D_3}$ و $\frac{b}{t}$

۲- ضریب تمرکز تنش الاستیک برای حفره
ضریب تمرکز تنش الاستیک برای A و E (شکل ۴-ج) و به روش‌های مختلف اجزای محدود، تحلیلی و فتوالاستیک به دست آمده‌اند.

الف) روش تحلیلی پترسون

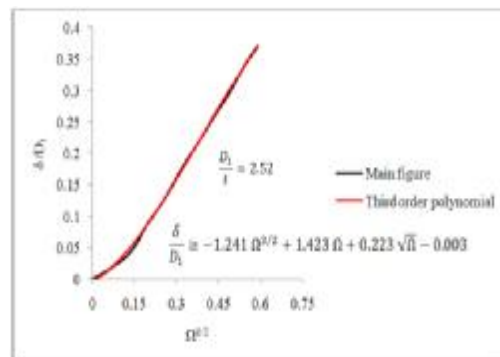
پترسون [۶] برای بستر حفره A در شکل (۴-ج) ضریب تمرکز تنشی به صورت فرمول (۳) ارائه کرده است:

$$k_t = 1 + 2 \sqrt{\frac{\delta}{t}} \quad (3)$$

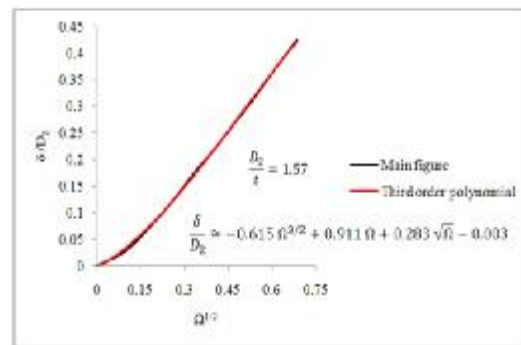
نتایج عددی

۱- برآمدگی جانبی و فرورفتگی بر جای مانده از برخورد

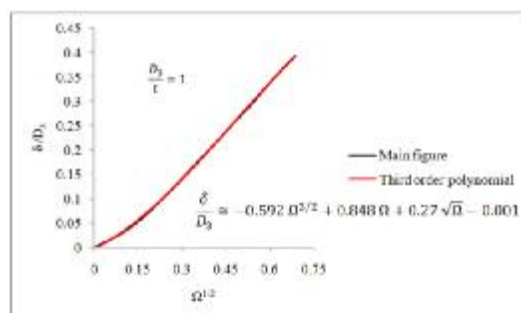
عمق فرورفتگی بی بعد شده به عنوان تابعی از انحرافی بی بعد برای سه قطر مختلف ذره D_1 ، D_2 و D_3 در شکل‌های (۷)، (۸) و (۹) نشان داده شده است. اگر انحرافی جانبی بزرگ باشد، فرورفتگی ایجاد شده عمیق خواهد بود. همان طور که از شکل‌های (۸)، (۹) و (۱۰) مشاهده می‌شود، رابطه بین δ/D و $\Omega^{1/2}$ از مرتبه سوم است.



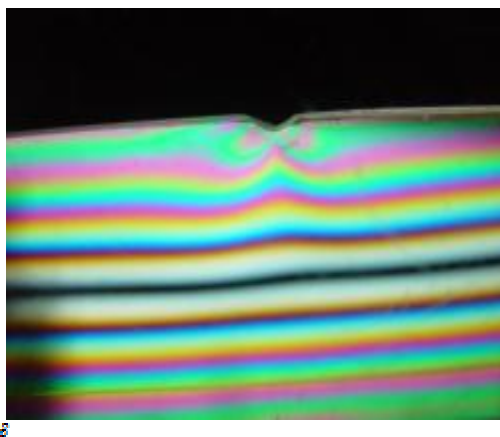
شکل ۸: رابطه بین $\frac{\delta}{D_1}$ و $\Omega^{1/2}$



شکل ۹: رابطه بین $\frac{\delta}{D_2}$ و $\Omega^{1/2}$



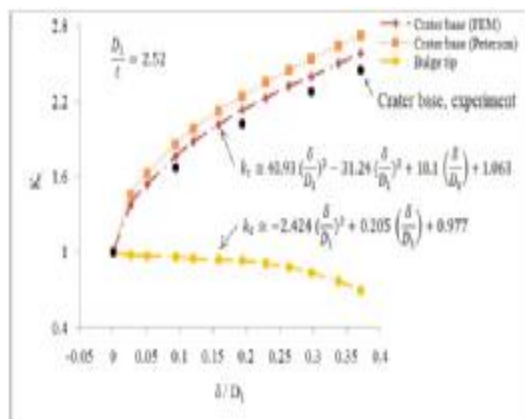
شکل ۱۰: رابطه بین $\frac{\delta}{D_3}$ و $\Omega^{1/2}$



شکل ۱۵: آنالیز تجربی تنش برای فرورفتگی با $\delta = 0.09375$ و $w = 1.86 \text{ mm}$ را نشان می‌دهد که ضریب تمرکز تنش $k_t = \frac{\delta}{w}$ را برای بستر حفره به دست می‌دهد.

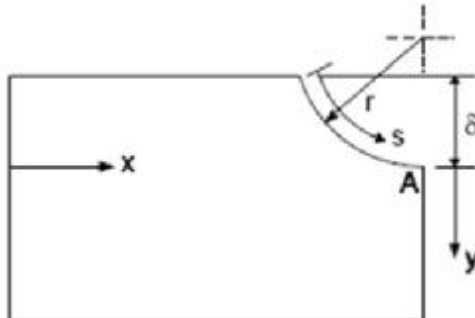


شکل ۱۶: دستگاه فتوالاستیک دستی.



شکل ۱۷: ضریب تمرکز تنش الاستیک برای بستر حفره و $k_t = \frac{\delta}{D_1}$ برآمدگی جانبی بر حسب.

در فرمول (۳)، δ عمق فرورفتگی و r شعاع انحنای فرورفتگی است و از ارتفاع توده پلاستیک صرفنظر شده است. شکل (۱۴) هندسه نیمی از فرورفتگی را نشان می‌دهد که در آن δ و r مشخص شده است.



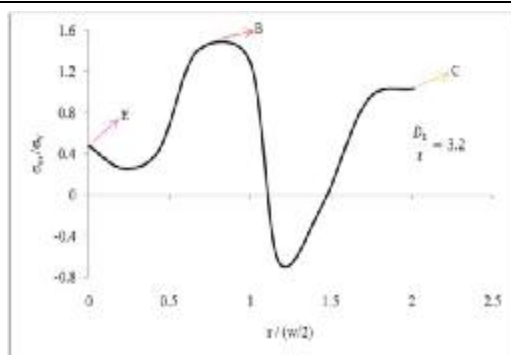
شکل ۱۴: هندسه نیمی از فرورفتگی که در آن δ و r مشخص شده است [۶].

ب) روش اجزای محدود
ضریب تمرکز تنش برای A و E (شکل ۴ - ج) پس از برخورد محاسبه شده است. در این روش هندسه فرورفتگی (فرورفتگی از تنش‌های پسماند، آزاد سازی شده است) تحت بار استاتیکی قرار می‌گیرد و ضریب تمرکز تنش الاستیک ($k_t = \frac{\sigma_{max}}{\sigma}$) که σ تنش در دوردست فرورفتگی است از آنالیز سه‌بعدی اجزای محدود به دست می‌آید.

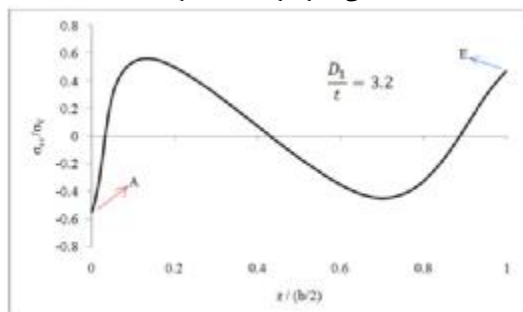
ج) آنالیز تجربی تنش(فتوالاستیک)

برای این هدف، هندسه فرورفتگی توسط دستگاه لیزر ۱۰۰۰ وات روی قطعات از جنس پلی کربنات (مواد فتوالاستیک) ایجاد شدند، سپس توسط دستگاه فتوالاستیک دستی تحت بار کششی ساده قرار گرفتند و ضریب تمرکز تنش الاستیک برای A (شکل ۴ - ج) محاسبه شد. شکل (۱۵) آنالیز تجربی تنش برای فرورفتگی با عمق $1/۸۶$ میلی‌متر را نشان می‌دهد که ضریب تمرکز تنش $k_t = \frac{\delta}{w}$ را برای بستر حفره به دست می‌دهد. شکل (۱۶) دستگاه فتوالاستیک دستی را نشان می‌دهد.

شکل‌های (۱۷)، (۱۸) و (۱۹) ضریب تمرکز تنش الاستیک برای بستر حفره و برآمدگی جانبی (به ترتیب A و E در شکل (۴ - ج)) را به ترتیب بر حسب $\frac{\delta}{D_2}$ ، $\frac{\delta}{D_3}$ و $\frac{\delta}{D_5}$ های مختلف نشان می‌دهد.



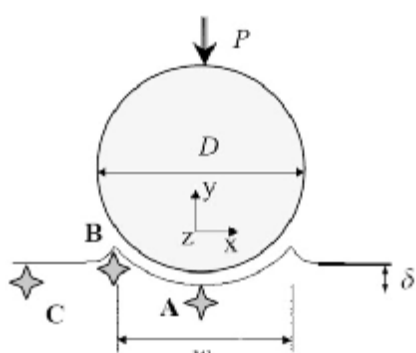
شکل ۲۰: تنش‌های پسماند کششی در برآمدگی جانبی E، توده پلاستیک اطراف حفره B و منطقه‌ای زیر سطح و به اندازه شعاع حفره از حاشیه حفره C.



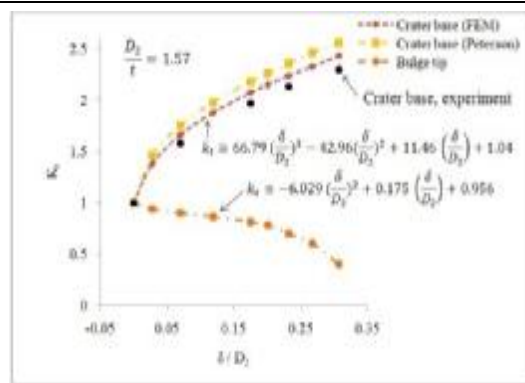
شکل ۲۱: تنش پسماند فشاری در بستر حفره A که تنش‌های پسماند کششی را تعدیل می‌کند.

مقایسه بین تنش‌های پسماند از دو روش استاتیکی و دینامیکی در C، B، A و

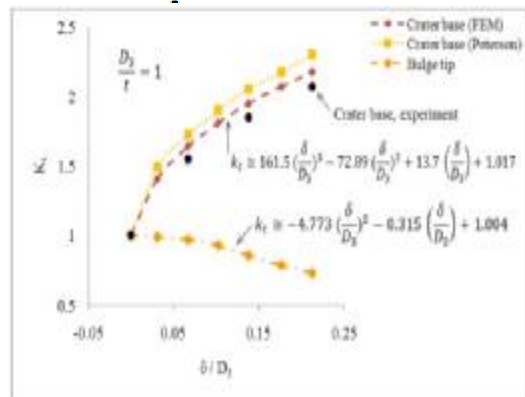
برای آنالیز شبه استاتیکی [۷]، اثرگذاری قائم یک جسم کروی سخت روی نمونه ضخیم و بدون تنش اولیه از جنس سوپرآلیاژ 80 René در نظر گرفته شد. این اثرگذاری قائم با فشار دادن جسم کروی با قطرهای مختلف D_1 و D_2 ، D_3 روی نمونه انجام گرفت. شکل (۲۲)، فشردن جسم کروی روی نمونه را نشان می‌دهد.



شکل ۲۲: فشردن جسم کروی با نیروی P بر روی نمونه [۷].



شکل ۱۸: ضریب تمرکز تنش الاستیک برای بستر حفره و برآمدگی جانبی بر حسب $\frac{D_1}{t}$



شکل ۱۹: ضریب تمرکز تنش الاستیک برای بستر حفره و برآمدگی جانبی بر حسب $\frac{D_1}{t}$

تنش‌های پسماند

برای یافتن میدان تنش‌های پسماند، فرض می‌شود که جسم به لبه پره با ضخامت $t = 1 \text{ mm}$ برخورد می‌کند. در این شبیه‌سازی، قطر جسم کروی $D = 3.2 \text{ mm}$ است که با سرعت ۳۰۰ متر بر ثانیه و به طور قائم به نمونه از جنس سوپرآلیاژ 80 René برخورد می‌کند.

نمودارهای تنش پسماند $\frac{\sigma_z}{\sigma_0}$ در شکل‌های (۲۰) و (۲۱) نشان داده شده است. همان‌گونه که از شکل (۲۰) مشخص است، دو منطقه کششی وجود دارد: منطقه کششی زیر سطح که به میزان شعاع حفره از حاشیه حفره فاصله دارد (C در شکل (۴ - ج)) و منطقه کششی در حاشیه حفره (B در شکل (۴ - ج)) و منطقه کششی زیر سطح که به میزان شعاع حفره از حاشیه حفره فاصله دارد (A در شکل (۴ - ج)). در شکل (۲۱) مشاهده می‌شود که تنش پسماند فشاری در A (شکل (۴ - ج)) وجود دارد که باعث تعادل تنش‌های پسماند کششی می‌شود.

نمودارهای (۲۳)، (۲۴) و (۲۵) نشان می‌دهند که در محدوده‌ای از فرورفتگی بدون بعد، نتایج برخورد دینامیکی و آنالیز استاتیکی به هم نزدیک هستند و می‌توان از آنالیز استاتیکی، به سبب تحلیل ساده‌تر با نرم‌افزار، برای محاسبه تنش‌های پسماند استفاده کرد.

نتیجه‌گیری

۱- ضریب تمرکز تنش الاستیک، توزیع تنش موضعی را تغییر می‌دهد. برای خسارت جسم خارجی روی لبه برخورد پره، این ضریب برای بستر حفره (A) در شکل (۴-ج) و قطرهای مختلف جسم برخوردکننده، بیشترین مقدار را دارد. همچنین ضریب تمرکز تنش الاستیک برای نوک برآمدگی جانبی (E) در شکل (۴-ج) و برای قطرهای مختلف جسم برخوردکننده، به دلیل تغییر مکان این ناحیه در راستاهای y و z همواره کمتر از ۱ است.

۲- با مراجعه به شکل‌های ۲۴، ۲۳ و ۲۵ مشاهده می‌شود که تنش‌های پسماند (استاتیکی و دینامیکی) نرمال شده برای بستر حفره (A) در شکل (۴-ج) مستقل از

قطر جسم برخوردکننده در $\frac{\delta}{D} \approx 0.26$ فشاری می‌شود.

۳- با مراجعه به شکل (۲۵)، اختلافی به میزان ۲۶ درصد بین تنش‌های پسماند شبه استاتیکی و دینامیکی در $\frac{\delta}{D} = 0.33$ دیده می‌شود که در نهایت این اختلاف

به ۳۶ درصد در $\frac{\delta}{D} = 0.39$ افزایش می‌یابد.

۴- با مراجعه به شکل (۲۴)، اختلافی به میزان ۲۷ درصد بین تنش‌های پسماند شبه استاتیکی و دینامیکی در $\frac{\delta}{D} = 0.3$ دیده می‌شود که در نهایت این اختلاف به

درصد در $\frac{\delta}{D} = 0.424$ افزایش می‌یابد.

۵- با مراجعه به شکل (۲۳)، اختلافی به میزان ۳۰ درصد بین تنش‌های پسماند شبه استاتیکی و دینامیکی در $\frac{\delta}{D} = 0.26$ دیده می‌شود که در نهایت این اختلاف به

درصد در $\frac{\delta}{D} = 0.34$ افزایش می‌یابد.

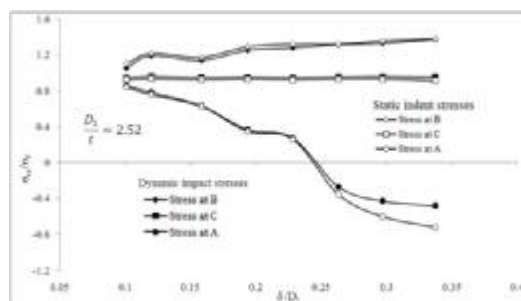
۶- با توجه به نتایج شماره ۴، ۳ و ۵، نتیجه‌گیری می‌شود که هر چه قطر جسم کروی بزرگ‌تر باشد، اختلاف بین تنش‌های پسماند شبه استاتیکی و دینامیکی در $\frac{\delta}{D}$ کمتر قابل مشاهده و مقدار این اختلاف بزرگ‌تر خواهد بود.

فرمول (۴) رابطه بین نیروی استاتیکی P و عمق فرورفتگی را بیان می‌کند:

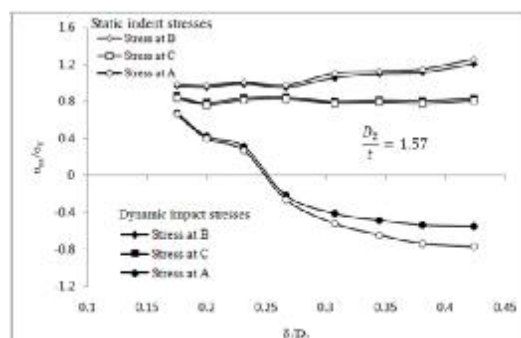
$$\frac{\sigma_u}{3.45} = \frac{P}{\pi D \delta} \quad (4)$$

برای سوپرآلیاژ 80 René ۶۵۰ MPa در نظر گرفته شده است.

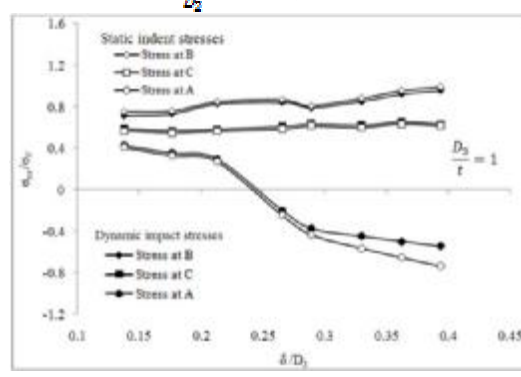
شکل‌های (۲۳)، (۲۴) و (۲۵) مقایسه بین تنش‌های حاصل از آنالیز شبه استاتیکی و دینامیکی را بر حسب (به ترتیب) $\frac{\delta}{D_1}$ ، $\frac{\delta}{D_2}$ و $\frac{\delta}{D_3}$ نشان می‌دهند.



شکل ۲۳ : مقایسه بین تنش‌های پسماند شبه استاتیکی و دینامیکی بر حسب $\frac{\delta}{D_1}$



شکل ۲۴ : مقایسه بین تنش‌های پسماند شبه استاتیکی و دینامیکی بر حسب $\frac{\delta}{D_2}$



شکل ۲۵ : مقایسه بین تنش‌های پسماند شبه استاتیکی و دینامیکی بر حسب $\frac{\delta}{D_3}$

- ۸- ضریب تمرکز تنش الاستیک محاسبه شده در بستر حفره با استفاده از سه روش اجزای محدود، روش پترسون و روش آنالیز تجربی تنش، به یکدیگر نزدیک و اختلاف ۵درصد بین روش اجزای محدود و روش پترسون و همچنین بین دو روش اجزای محدود و روش تجربی را نشان می‌دهد. به عبارت دیگر مقادیر به دست آمده از روش اجزای محدود میانگین عددی دو روش دیگر است.
- ۷- با توجه به اینکه احتمال ایجاد ترک خستگی در سه ناحیه A, B و C در سرعت‌های زیاد جسم برخورد کننده بیشتر است و در این رنج سرعت تنش‌های پسماند ایجاد شده در بستر حفره A فشاری است (با مراجعه به شکل‌های ۲۴، ۲۳ و ۲۵ در نتیجه تنها عامل مؤثر در ایجاد ترک‌های خستگی در بستر حفره ضریب تمرکز تنش الاستیک در این ناحیه است.

مراجع

- 1 - Nowell, D., Duo, P. and Stewar, I. F. (2003). "Prediction of fatigue performance in gas turbine blades after foreign object damage." *Int J Fatigue*, Vol. 25, PP. 963-969.
- 2 - Chen, XI. (2005). *Foreign object damage on the leading edge of a thin blade. Mechanics of materials*, Vol. 37, PP. 447-457.
- 3 - Wikipedia the encyclopedia. *History of jet aircrafts*, <http://en.wikipedia.org/wiki/jet-engine> history.
- 4 - Donachie, M. J. and Donachie, S. D. (2002). "Superalloys" "A Technical guide." *ASM International*, USA, PP. 245-246.
- 5 - Rahmani, Kh. (2008). *Research on the effect of coating on fatigue properties of Ni-base superalloy René 80*, Ph.D. Thesis, Sharif University of Technology, Tehran.
- 6 -Nicholas, T., Thompson, S. R., Porter, W. J. and Buchanan, D. J. (2005). "Comparison of fatigue limit strength of Ti-6Al-4V in tension and torsion after real and simulated foreign object damage." *International Journal of Fatigue*, Vol. 27, PP. 1637-1643.
- 7 - Chen, XI. Hutchinson, J. W. (2002). "Particle impact on metal substrates with application to foreign object damage to aircraft engines." *Int J Mechanics and Physics of Solids*, Vol. 50, PP. 2669-2690.

واژه‌های انگلیسی به ترتیب استفاده در متن

- 1- Foreign Object Damage
- 2- Thermal Barrier Coating
- 3- Crater Base
- 4- Bulge Tip
- 5- Pile Up